

DECLARAȚIE DE PERFORMANȚĂ

în conformitate cu anexa III din Regulamentul UE nr. 305/2011, (regulamentul privind produsele pentru construcții)
Nr. 09-003-04/0064-2014-04

- 1.) Cod unic de identificare al tipului de produs:
EJOT SDF-S plus 8UB + EJOT TE Ø 60/50
- 2.) Tipul, lotul sau numărul de serie sau orice alt element care permite identificarea produsului pentru construcții astfel cum este solicitat la articolul 11 alineatul (4):
a se vedea ambalajul/eticheta produsului
- 3.) Utilizarea sau utilizările preconizate ale produsului pentru construcții, în conformitate cu specificația tehnică armonizată aplicabilă, astfel cum este prevăzut de fabricant:
Diblu cu surub, pentru ancorarea sistemelor termoizolante compozite exterioare cu strat de tencuială, în beton și zidărie; categorii de utilizare: A,B,C,E
lungimi diblu: 140 – 340 mm
- 4.) Numele, denumirea comercială sau marca înregistrată și adresa de contact a fabricantului, astfel cum se solicită în temeiul articolului 11 alineatul (5):
EJOT Baubefestigungen GmbH, In der Stockwiese 35, 57334 Bad Laasphe
- 5.) După caz, numele și adresa de contact a reprezentantului autorizat al cărui mandat acoperă atribuțiile specificate la articolul 12 alineatul (2):
Nerelevant
- 6.) Sistemul de evaluare și verificare a constanței performanței:
Sistemul 2+
- 7.) În cazul declarației de performanță privind un produs pentru construcții acoperit de un standard armonizat:
nerelevant
- 8.) În cazul unei declarații de performanță referitoare la un produs de construcție pentru care a fost emisă o evaluare tehnică europeană, atunci:
Institutul german pentru tehnologia construcțiilor (DIBt) a emis o aprobare tehnică europeană ETA-04/0064 pe baza ETAG 014. Universitatea MPA din Stuttgart -Otto-Graf-Institut-, NB 0672 a efectuat inspecția inițială a produsului de construcție conform sistemului 2+.

9.) Performanța declarată


| Caracteristici esențiale | Performanța produsului | Specificațiile tehnice armonizate |
|--|---|-----------------------------------|
| Rezistențe caracteristice la tracțiune N_{Rk} | Vezi ETA-04/0064 Anexa C1, Tabelul C1 | ETAG 014: 2011 |
| Comportament la deplasare | Vezi ETA-04/0064 Anexa C3, Tabelul C4 | ETAG 014: 2011 |
| Coeficientul de transfer termic în anumite puncte (valoare χ_{ti}) | Vezi ETA-04/0064 Anexa C2, Tabelul C2 | EOTA TR 25 |
| Rigiditatea rozetei diblului | Vezi ETA-04/0064 Anexa C2, Tabelul C3 | EOTA TR 26 |
| Distanța minimă interax permisă și distanța minimă față de margini | Vezi ETA-04/0064 capitolul: B2, Tabelul B2 | ETAG 014: 2011 |

- 10.) Performanța produsului identificat la punctele 1 și 2 este în conformitate cu performanța declarată de la punctul 9. Această declarație de performanță este emisă pe răspunderea exclusivă a fabricantului identificat la punctul 4.

Semnată pentru și în numele fabricantului de către

Dr. Frank Dratschmidt / conducere
(numele și funcția)

Bad Laasphe, den 05.01.2015
(locul și data emiterii)


(semnătură)

| Table C1: Characteristic resistance to tension loads N_{Rk} in concrete and masonry for a single anchor in kN | | | | | | |
|---|---|---|---|----------------------------|--|--|
| Anchor type | | | | | SDM-T plus SDF-K plus SDF-S plus | SDM-T plus U SDF-K plus U SDF-S plus U SDF-K plus UB SDF-S plus UB |
| Base materials | Bulk density class ρ [kg/dm ³] | minimum compressive strength f_b [N/mm ²] | General remarks | Drill method ¹⁾ | | N_{Rk} [kN] |
| Concrete C12/15 | | | EN 206-1 | H | 1,5 | 1,5 |
| Concrete C16/20 – C50/60 | | | EN 206-1 | H | 1,5 | 1,5 |
| Clay bricks Mz e.g. according to DIN 105-100:2012-01 / EN 771-1:2011 | $\geq 1,8$ | 12 | Vertically perforation up to 15 %. | H | 1,5 | 1,5 |
| Sand-lime solid bricks KS e.g. according to DIN V 106:2005-10 / EN 771-2:2011 | $\geq 1,8$ | 12 | Vertically perforation up to 15 %. | H | 1,5 | 1,5 |
| Lightweight concrete solid blocks V e.g. according to DIN V 18152-100:2005-10 / EN 771-3:2011 | $\geq 0,5$ | 4 | Proportion of hole up to 10% maximum extension of hole: length = 110mm; wide = 45mm | D | 0,9 | 0,9 |
| Vertically perforated clay bricks HLz e.g. according to DIN 105-100:2012-01 / EN 771-1:2011 | $\geq 0,9$ | 12 | Vertically perforation more than 15% and less than 50 %. | D | - | 1,2 |
| Sand-lime perforated bricks KSL e.g. according to DIN V 106:2005-10 / EN 771-2:2011 | $\geq 1,8$ | 12 | Vertically perforation up to 15 %. | D | - | 1,5 |
| Lightweight concrete hollow blocks Hbl e.g. according to DIN V 18151-100:2005-10 / EN 771-3:2011 | $\geq 0,5$ | 2 | see Annex C 4 | D | - | 0,75 |
| Autoclaved aerated concrete AAC 4 e.g. according to DIN V 4165, part 100:2005-10 / EN 771-4:2011 | $\geq 0,5$ | 4 | | D | - | 0,6 |

¹⁾ H = hammer drilling / D = rotary drilling

EJOT SDM-T plus, SDF-K plus and SDF-S plus

Performances
Characteristic resistance

Annex C 1

Table C4: Displacements

| Base material | Bulk density class ρ [kg/dm ³] | Minimum compressive strength f_b [N/mm ²] | Tension load N [kN] | displacements $\delta_m(N)$ [mm] |
|--|--|---|---------------------------------|--|
| Concrete C12/15 – C50/60 (EN 206-1:2000-12) | | | 0,5 | 0,7 |
| Clay bricks, Mz (DIN 105-100:2012-01/ EN 771-1:2011) | $\geq 1,8$ | 12 | 0,5 | 0,5 |
| Sand-lime solid bricks, KS (DIN V 106:2005-10 / EN 771-2:2011) | $\geq 1,8$ | 12 | 0,5 | 0,5 |
| Lightweight concrete solid blocks, V (DIN V 18152-100:2005-10 / EN 771-3:2011) | $\geq 0,5$ | 4 | 0,3 | 0,6 |
| Vertically perforated clay bricks, HLz (DIN 105-100:2012-01/ EN 771-1:2011) | $\geq 0,9$ | 12 | 0,4 | 0,3 |
| Sand-lime perforated bricks, KSL (DIN V 106:2005-10 / EN 771-2:2011) | $\geq 1,6$ | 12 | 0,5 | 0,3 |
| Lightweight concrete hollow blocks, Hbl (DIN V 18151-100:2005-10 / EN 771-3:2011) | $\geq 0,5$ | 2 | 0,25 | 0,2 |
| Autoclaved aerated concrete AAC 4 (DIN V 4165, part 100:2011 / EN 771-4:2011) | $\geq 0,5$ | 4 | 0,2 | <0,1 |

EJOT SDM-T plus, SDF-K plus and SDF-S plus

Performances
Displacements

Annex C 3

Table C2: Point thermal transmittance according EOTA Technical Report TR 025:2007-06

| Anchor type | insulation thickness h_D [mm] | point thermal transmittance χ [W/K] |
|--------------|---------------------------------------|--|
| SDM-T plus U | 60 - 80 | 0,002 |
| | > 80 - 360 | 0,003 |

| Anchor type | insulation thickness h_D [mm] | point thermal transmittance $\chi_{s,c}$ [W/K] |
|----------------------------|---------------------------------------|--|
| SDF-S plus with TE Ø60/50 | 60 - 180 | 0,002 |
| SDF-S plus with TE Ø60/110 | 120 - 150 | 0,000 |
| | 150 - 240 | 0,001 |

Table C3: Plate stiffness according EOTA Technical Report TR 026:2007-06

| Anchor type | diameter of the anchor plate [mm] | load resistance of the anchor plate [kN] | plate stiffness [kN/mm] |
|----------------------------|---|--|----------------------------|
| SDM-T plus U | 60 | 2,67 | 0,6 |
| SDF-S plus with TE Ø60/50 | 60 | 2,24 | 0,7 |
| SDF-S plus with TE Ø60/110 | 60 | 2,24 | 0,7 |

EJOT SDM-T plus, SDF-K plus and SDF-S plus

Performances
Point thermal transmittance
Plate stiffness

Annex C 2

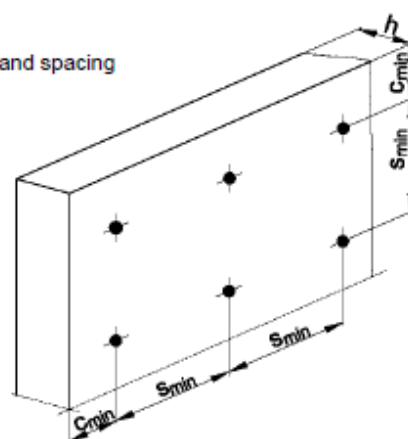
Table B1: Installation parameters

| Anchor type | | SDM-T <i>plus</i> SDF-K <i>plus</i> SDF-S <i>plus</i> | SDM-T <i>plus</i> U SDF-K <i>plus</i> U SDF-S <i>plus</i> U SDF-K <i>plus</i> UB SDF-S <i>plus</i> UB |
|--|------------------|---|---|
| Drill hole diameter | d_0 [mm] | 8 | 8 |
| Cutting diameter of drill bit | d_{cut} [mm] ≤ | 8,45 | 8,45 |
| Depth of drilled hole to deepest point | h_1 [mm] ≥ | 60 | 80 |
| Effective anchorage depth | h_{ef} [mm] ≥ | 50 | 70 |

Table B2: Anchor distances and dimensions of members

| Anchor type | | SDM-T <i>plus</i> SDF-K <i>plus</i> SDF-S <i>plus</i> | SDM-T <i>plus</i> U SDF-K <i>plus</i> U SDF-S <i>plus</i> U SDF-K <i>plus</i> UB SDF-S <i>plus</i> UB |
|---------------------------------|---------------------|---|---|
| Minimum allowable spacing | $s_{min} \geq$ [mm] | 100 | 100 |
| Minimum allowable edge distance | $c_{min} \geq$ [mm] | 100 | 100 |
| Minimum thickness of member | $h \geq$ [mm] | 100 | 100 |

Scheme of distances and spacing



EJOT SDM-T *plus*, SDF-K *plus* and SDF-S *plus*

Intended use
Installation parameters,
Anchor distances and dimensions of members

Annex B 2